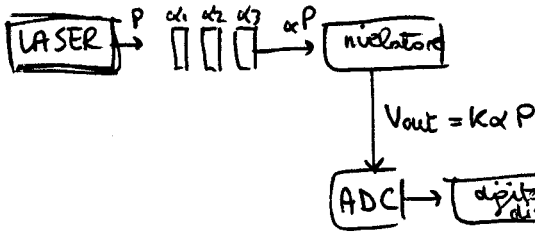


STRUMENTAZIONE PER MISURE OTTICHE

MISURE di POTENZA OTTICA



Intensità $I = \frac{EE^*}{\eta_0} [W/m^2]$ ($\eta_0 = \sqrt{\frac{\mu_0}{\epsilon_0}} = 377 \Omega$)

Potenza = $P = \int I dS$

$R = \frac{\eta_e R_f}{h\nu}$ (x fotodiodo) guadagno transimpedenza

Power Meter (risoluzione $10^{-2} \div 10^{-3}$) (sensibilità)

(filtra spaziale + attenuatore)
 ↳ punta del detector

rivelatore può essere termico (responsivity piatta) ($\eta_{abs} \text{ ottica} = \eta_{therm} = K(T - T_{amb})$)

o semiconduttore

• sensore termico: TERMOPILA: termocoppie in Zn elettricamente (fruttano effetto Seebeck) (XT sensibilità)

• semiconduttore: (Ge (IR), Si fino a 1100 nm (VIS), InGaAs 800-1650 nm (IR)) (11 ordini di grandezza tra P_{min} e P_{max})

- CCD
 - scorrimento e raccolta delle cariche fotogenerate
 - ricostruzione immagine su matrice di punti (display raster)
 - importante densità singoli pixel

MISURE PROFILO SPAZIALE

[analisi del piano xy durante propagazione lungo z]

Misure di zona (macchia): $w = w_0 \left[1 + \left(\frac{z \lambda}{\pi w_0^2} \right)^2 \right]^{1/2}$

Campo lontano misure (divergenza): $\theta = \frac{\Delta w}{\Delta z}$

Astigmatismo $w_{ox} \neq w_{oy}$
 $\theta_x \neq \theta_y$

Misure di $M^2 = \frac{\theta_{mis}}{\theta_{diffraction \ limited}} = \frac{\theta_{mis}}{\lambda / \pi w_0}$ (θ_x^2 e θ_y^2)

WAVE METER (è interferometro ultraaccurato)

$u(\lambda) = 300 \text{ fm}$
 $\Delta\lambda = 1 \div 0,1 \text{ pm}$

sfrutto $u(\lambda_R)_{\text{He-Ne}} = 2,3 \cdot 10^{-11}$

(viaggiano sullo stesso cammino)

→ Ho due fasci; uno di riferimento (He-Ne) e uno di misura (λ_x): su un fotodiodo conto un numero intero di frange per λ_x , sull'altro ~~contato~~ (λ_R) conto numero intero + ϵ ! ($0 < \epsilon < 1$)
 (NR) (NX)

incertezza relativa: $\left| \frac{\Delta\lambda_x}{\lambda_x} \right| = \left| \frac{\Delta\lambda_R}{\lambda_R} \right| = 10^{-10}$

(NB) Altri fattori di errore: $n(\lambda)$
 (i cammini ottici ≠)

$\lambda_x = \frac{NR + \epsilon}{NX}$ $\lambda_R \approx \frac{NR}{NX}$ $\lambda_R = k\lambda_R$

SPETTROMETRO e MONOCROMATORE

$u(\lambda) = 10 \text{ pm}$

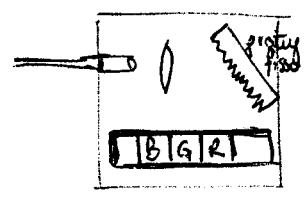
POTERE DISPERSIVO: $\Delta\theta = (K_d \Delta\lambda)$, ($K_d = \frac{d\theta}{d\lambda}$)

MONOCROMATORE ACCORDATO: potere risolutivo (spettroale): $r = \left| \frac{\Delta\lambda_{\text{min}}}{\lambda} \right| = \left| \frac{\Delta\nu_{\text{min}}}{\nu} \right|$

(+ stretto fascio al filtro, + tempo di mezzo e guardare tutto lo spettro)

- OSA tradizionale (monocromatore a prisma / grating rotante)
- OSA a banda stretta ma shock-resistant (grating fisso e array CCD)

OSA ultracompatto
 ↓
 (analizzatore di spettro ottico)
 per righe laser o segnali DWDM



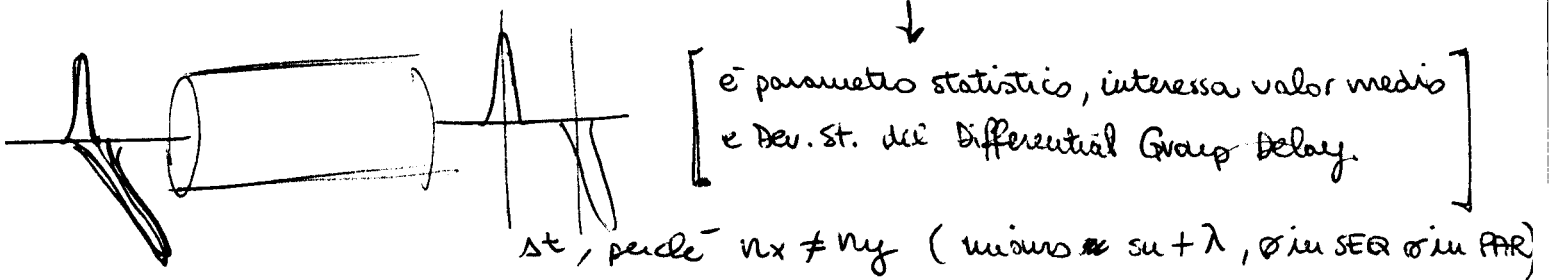
2048 pixel
 $\Delta\lambda_{\text{res}} = 0,3 \text{ nm}$
 $\Delta\lambda_{\text{span}} = 600 \text{ nm}$

OPTICAL TIME DOMAIN REFLECTOMETRY (OTDR)

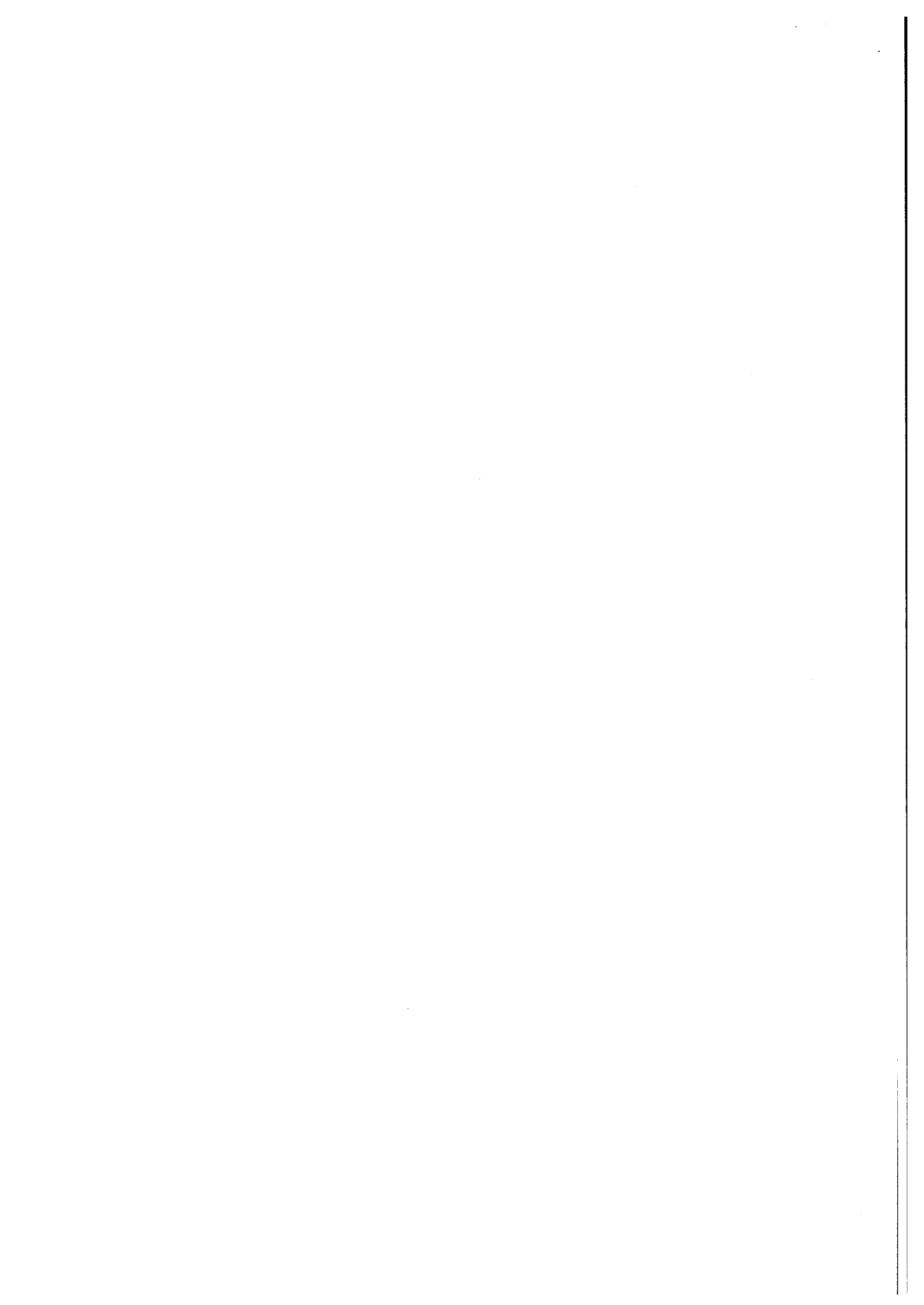
- Tecnica x la misura diretta di perdite locali o attenuazioni distribuite lungo un cavo in fibra ottica.
 - la lettura del segnale ottico avviene in riflessione, grazie al back-scattering
 - Scattering $\propto \frac{P_{ottica}}{\lambda^4}$
 - Inietto con laser impulsato impulsi (ns) di luce in fibra.
- $$P_{bs} = \left[\frac{1}{2} \alpha(s) \left(\frac{1}{\lambda^4} \right) \right] P_{opt} \left(\frac{z}{2} \right), \quad t = \frac{2L}{c/n}$$
- Se impulso + lungo, peggiora risoluzione spaziale ma \uparrow SNR.] $P_{opt}(z) = P_{opt}(0) e^{-\alpha z}$
- (vedi esempi di segnale OTDR: slides 18 e 19)

MISURE di INSERTION LOSS (fibre ottiche)

MISURE di POLARIZATION MODE DISPERSION (PMD)

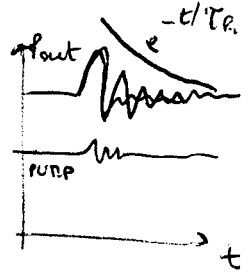


MISURE di BER (stimata dall'apertura $\left(\frac{S}{N}\right)$ del diagramma a occhio)



MISURE di STABILITÀ e STABILIZZAZIONE ATTIVA di OSCILLATORE LASER

STABILITÀ di AMPIEZZA



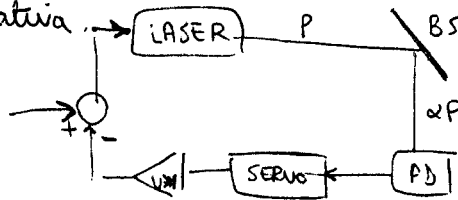
$$E(t) = E_0 (1 + \alpha(t)) e^{-j2\pi f_0 t} \quad (|\alpha(t)| \ll 1)$$

con analisi perturbativa \rightarrow oscillazioni di relax $\left\{ \begin{aligned} f_{RIN} &= \left(\frac{x-1}{\tau_c \tau_{sp}} \right)^{1/2} \\ \tau_{RIN} &= \frac{2\tau_{sp}}{x} \end{aligned} \right. \quad (x = P/P_{thr})$

[necessità di sistemi di stabilizzazione]

RIN (relative intensity noise) $\approx \frac{\Delta P_{rms}}{P_{ave}} = \frac{i^2(f) \times 1 \text{ Hz}}{I_{DC}^2}$ [non conta la deriva]

Soppressione del RIN: reazione negativa (attiva)



$\tau_c \text{ diodo} \ll \tau_c \text{ solido}$
 $f_{RIN \text{ diodo}} \gg f_{RIN \text{ stato solido}}$
 (100 KHz)

Come misuro il RIN?
 lego corrente e misuro uscita di fotodiode

STABILITÀ in FREQUENZA

$$E(t) = E_0 e^{-j[2\pi\nu_0 t - \phi(t)]} \quad \left(\text{con } \frac{1}{2\pi} \frac{d\phi}{dt} \ll \nu_0 \right)$$

$$\nu_{inst}(t) = \frac{1}{2\pi} \frac{d\phi_{TOT}}{dt} = \nu_0 - \frac{1}{2\pi} \frac{d\phi}{dt} = \nu_0 + \Delta\nu(t)$$

espressione autofreq.

$$\nu = \omega \cdot \frac{c}{2L} \Rightarrow \Delta\nu = \omega \cdot \frac{c}{2L^2} (-\Delta L) \Rightarrow \frac{\Delta\nu}{\nu} = -\frac{\Delta L}{L}$$

molto sensibile alle variaz. lunghezza!

Altro problema: coeff. dilataz. termica: $\left(\alpha = \frac{\Delta L}{L} \cdot \frac{1}{\Delta T} \right)$

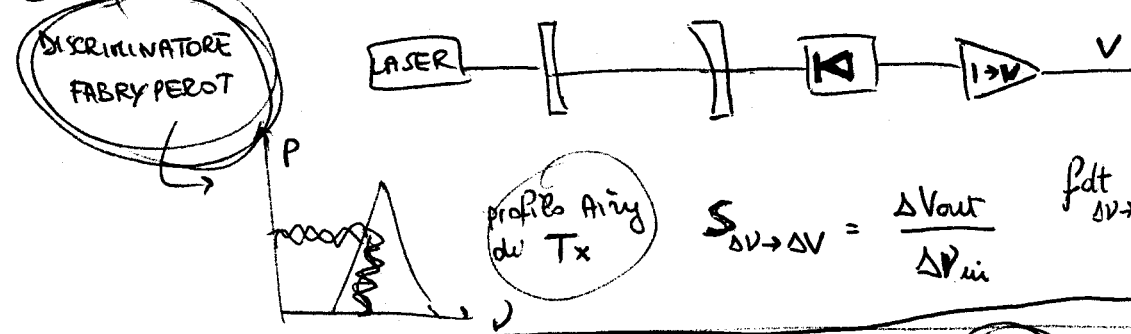
LASER INTRINSECAMENTE STABILI: Laser monolitici

- celle Peltier controllo temperatura (controllo termico lento ma grosso)
- PZT: controllo veloce e fine

(Non Planar Ring Oscillator: i + stabili in ampiezza e frequenza) (pompato a diodo)

CARATTERIZZAZIONE RUINORE di FREQUENZA

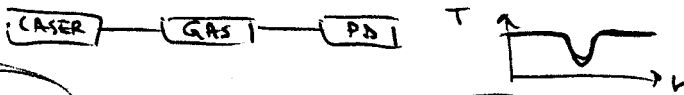
① Fluttuaz. freq. ottica → fluttuaz. potenza → fluttuaz. tensione



$$S_{\Delta V \rightarrow \Delta V} = \frac{\Delta V_{out}}{\Delta V_{in}}$$

$$f_{dt \Delta V \rightarrow \Delta V} = f_{dt \Delta V \rightarrow \Delta P} \times f_{dt \Delta P \rightarrow \Delta I} \times f_{dt \Delta I \rightarrow \Delta V}$$

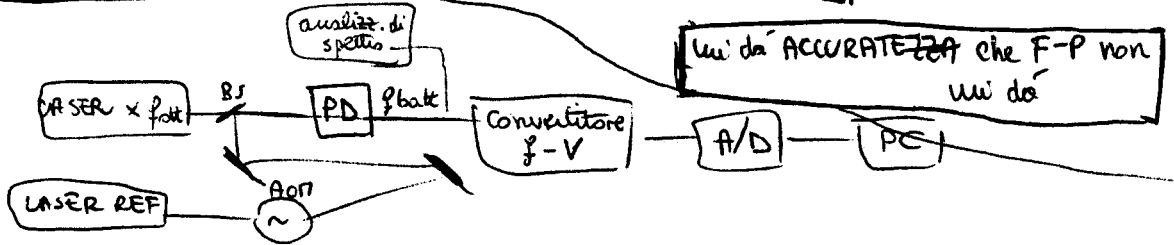
② Posso studiare/caratterizzare frequenza anche studiando (figa sbz) di una molecola



VANTAGGIO: so anche la ν_0 e non solo la $\Delta \nu$ come F-P.

③ Battimenti

Non serve x non avere battimenti in continua x $f_{ott} = f_{ref}$



Un'alta ACCURATEZZA che F-P non mi dà

$$f_{batt} = f_{AOM} + \Delta f_{ref-ott} \xrightarrow{\substack{\text{se } f_{ref} = f_{ott} \\ \text{e } \Delta f \rightarrow f_{ott} + \Delta f_{ott}}} f_{batt} = f_{AOM} \pm \Delta f_{ott}$$

$$\left(\begin{aligned} \text{se } \sqrt{\langle \Delta f_{ref}^2 \rangle} \ll \sqrt{\langle \Delta f_{ott}^2 \rangle} &\Rightarrow \sqrt{\langle \Delta(f_{ref} - f_{ott})^2 \rangle} \approx \sqrt{\langle \Delta f_{ott}^2 \rangle} \\ \text{se } \sqrt{\langle \Delta f_{ref}^2 \rangle} \approx \sqrt{\langle \Delta f_{ott}^2 \rangle} &\Rightarrow \sqrt{\langle \Delta(f_{ref} - f_{ott})^2 \rangle} \approx \sqrt{2} \sqrt{\langle \Delta f_{ott}^2 \rangle} \end{aligned} \right)$$

VARIANZA di ALLAN: misura x caratterizzaz. stabilita' in freq. di un oscillatore nel dominio del tempo

$$\sigma_y^2 = \frac{1}{2f^2} \langle (f_{batt,j+1} - f_{batt,j})^2 \rangle \quad \left(\begin{array}{l} \text{fluttuaz. di freq.} \\ \text{relativa} \end{array} \right)$$

SPETTROSCOPIA

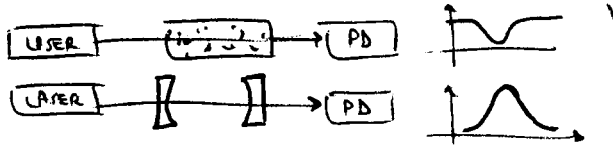
- Righe di abs. di atomi e molecole: $\Delta E = E_2 - E_1 = h(\nu_2 - \nu_1) = hc \left(\frac{1}{\lambda_2} - \frac{1}{\lambda_1} \right)$

cause e tipi di allargamento:

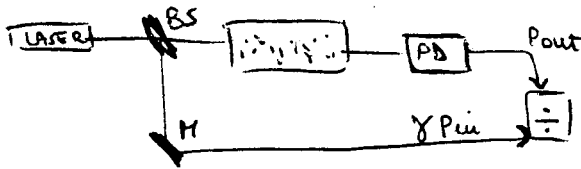
- campi di forza esterni \Rightarrow allargamento orso (Lorentziana)
- collisionale (Lorentziana) ($\Delta\nu \propto$ Pressione)
- allargamento Doppler (Gaussiana) ($\Delta\nu \propto \sqrt{f_0 \cdot T / m^2}$) (FWHM: $2\sigma\sqrt{2\ln 2}$)
- allargamento naturale (Lorentziana) ($\Delta\nu \propto 1/\tau_{sp}$)

Il spettro di abs. è riga allargata con valore centrale λ_0 e larghezza $\Delta\lambda_0$, FWHM (Vigt)

SPETTROSCOPIA LINEARE



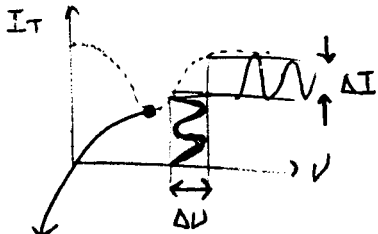
Conviene normalizzare la potenza trasmessa dalla cella alla potenza emessa dal laser (che non è così stabile!!)



Poi eseguo scansione lineare (rampa) della frequenza ν del laser e si misura $T(\nu)$

SPETTROSCOPIA FM

modulo laser in fase/freq., sinusoidalmente (modulaz. FM).



punto critico: insensibilità

molto + sensibile se quella linea è diretta

molto + semplice da leggere nel grafico piuttosto che

tramite rivelaz. coerente (LOCK IN)

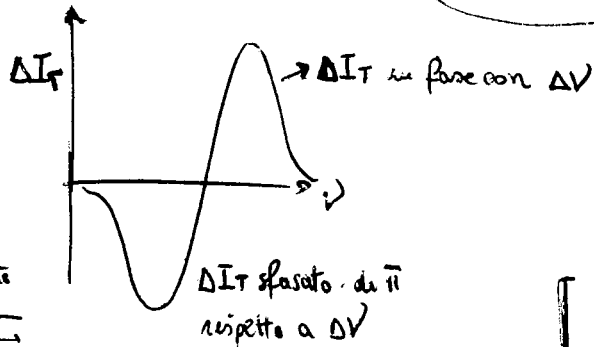
posso estrarre anche equal. molto

piccol. numerica nel rumore

(vedi schema realizzativo)

La modulaz. FM, attraversando il profilo di trasmissione, si trasforma in modulaz. AM. L'ampiezza dell'AM dipende dalla PENDENZA PRO LA VICE

\Rightarrow si ottiene PROFILO DI DISPERSIONE o la "DERIVATA PRIMA"



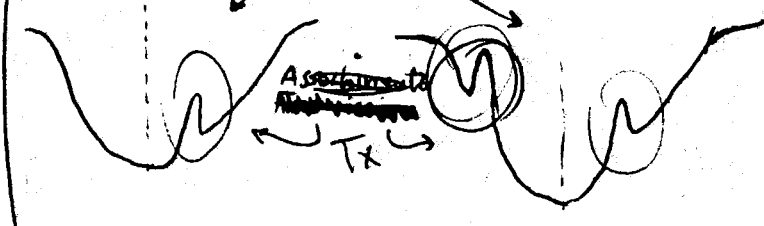
Poi la curva $T(\nu)$ si ottiene integrando la curva o derivata prima

EFFETTO DOPPLER NELLA SPETTROSCOPIA

→ l'interaz. fra atomi e fascio laser avviene a una frequenza \neq , spostata da quella centrale della transizione

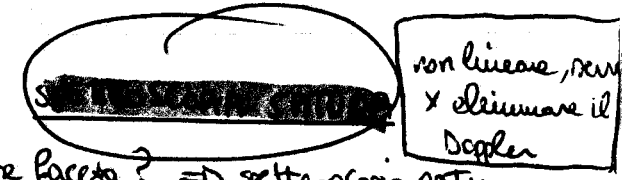
$$\frac{\Delta \nu}{\nu} = \frac{v}{c}$$

singolo fascio o doppio fascio (contropropagante)



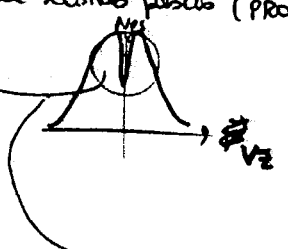
■ Per eliminare il collisionale, posso ↓ Pressione

■ Per eliminare il Doppler (senza abbassare T) come faccio? ⇒ spettroscopia saturata (non lineare)

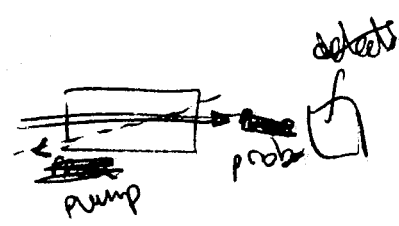


Pump & probe: Pump: satura la riga di assorbimento ($\nu_L = \nu_0$) e un secondo fascio (PROBE) misura la riga satura

questa riga non subisce allargamento Doppler



La doppia interazione con le stesse molecole ($\nu_L = \nu_0$) ELIMINA L'ALLARGAM. DOPPLER



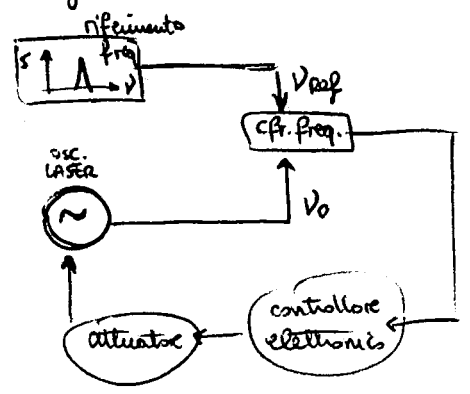
Ⓝ Per fare ancora meglio, posso modulare il probe a FTZ ⇒ LOCK-IN.

riga satura molto stretta

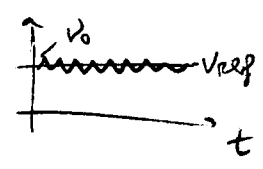
STABILIZZAZIONE IN FREQUENZA

- FRINGE-SIDE LOCKING ①
- POUND DREVER ②

schema generale:

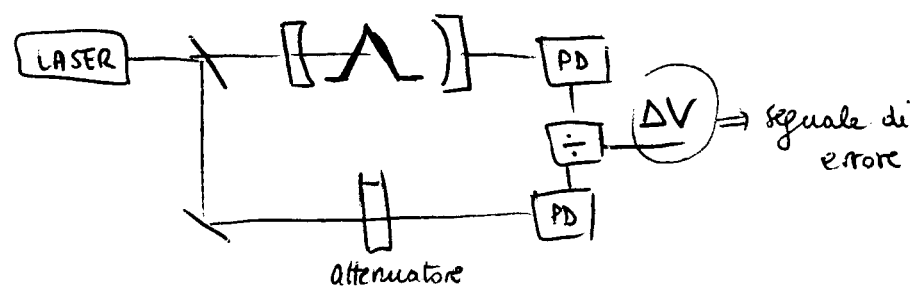


in questo modo la mia ν_0 balla intorno a V_{ref} ma non fa deriva



① FRINGE SIDE LOCKING

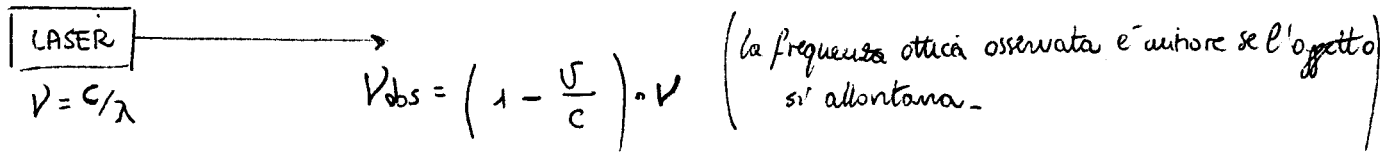
Retto F-P e reazione negativa che agisce su attuatore di freq. (il modo da mantenere T costante)



$$\Delta \bar{\nu} = \text{width chiuso} = \frac{\Delta \nu}{P_{att} \rightarrow \Delta \nu \times [1 + G_{loop}] \propto \Delta \nu = \nu - \nu^*}$$

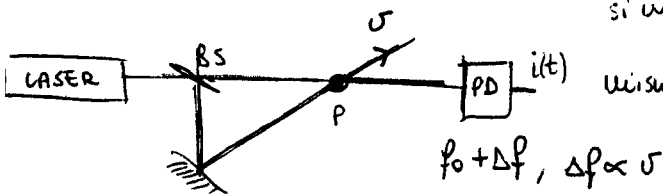
VELOCIMETRI OTTICI

Effetto Doppler sui fasci laser



Poiché $v \ll c$, lo spostamento Doppler: $\Delta V = (V - V_{obs}) = \frac{v}{c} V \ll V$
 risulta molto piccolo rispetto alla freq. ottica

Metodo Eterodina per velocimetria: Per rivelare Δf di qualche MHz sul fascio ottico a $\approx 500 THz$ non si usa un monocromatore o un OSA, ma è molto meglio misurare il BATTIMENTO ETERODINA con fascio di riferimento



LASER DOPPLER VELOCIMETRY (LDV): x rivelare senza contatto una ampia dinamica di velocità in fluidi in movimento, in particolare usata x misure di velocità di fluidi

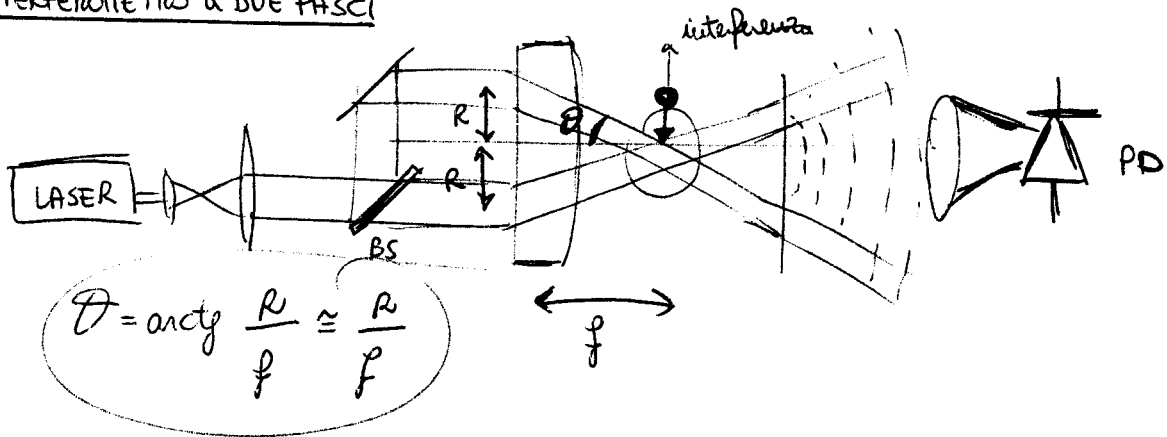
• scattering:

Rayleigh: ($r \ll \lambda$) ($\alpha \propto r/\lambda^4$) ($P(\theta) \propto \cos^2$) (liquidi/gas) che trasportano particelle diffondenti

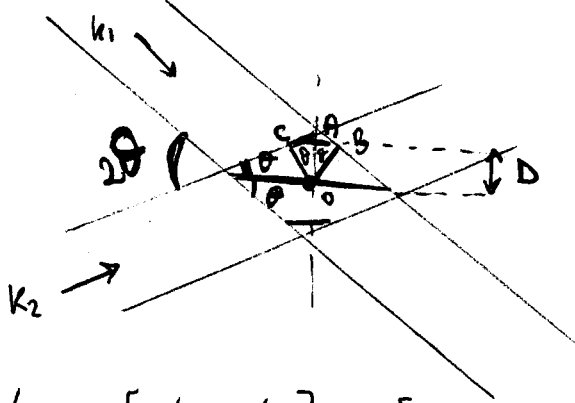
Mie ($r \approx \lambda$) ($\alpha \propto \cos^2$) ($P(\theta) P_0 \max$ per $\theta = 0$)

segnale di misura interpretato come: attraversamento di frange

SET-UP: INTERFEROMETRO A DUE FASCI



LDV: frange interferenza



fasci collimati \rightarrow fronti d'onda circa piani con lunghezza $\pm w_0$
 zona interferenza e larghezza circa: $\Delta X = \pm 2w_0 \cos \theta$
 $\Delta Y = \pm 2w_0 \sin \theta$

$\Delta \phi_{O \rightarrow A} = [\phi_2 - \phi_1]_O - [\phi_2 - \phi_1]_A = 2\pi$ (O e A spaziali di $2\pi = D$)

Da O a A: $\Delta \phi_2 = \phi_2(O \rightarrow C) + \phi_2(C \rightarrow A) = (0 + k_2 CA) = \frac{2\pi}{\lambda} D \sin \theta$

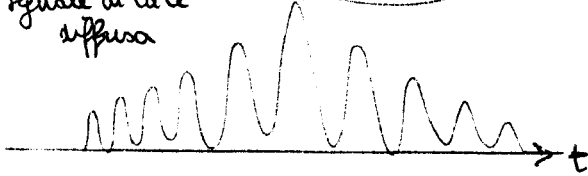
$\Delta \phi_1 = \phi_1(O \rightarrow B) + \phi_1(B \rightarrow A) = (0 - k_1 BA) = -\frac{2\pi}{\lambda} D \sin \theta$

$\Delta \phi_{O \rightarrow A} = \frac{4\pi}{\lambda} D \sin \theta = 2\pi \Rightarrow D = \frac{\lambda}{2 \sin \theta}$

LDV: legame velocità \rightarrow frequenza

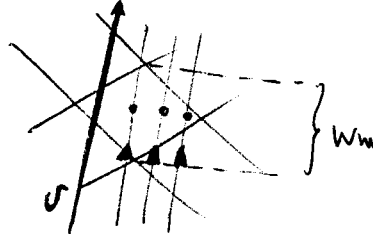
periodo del segnale di luce diffusa

$T_D = D/v$



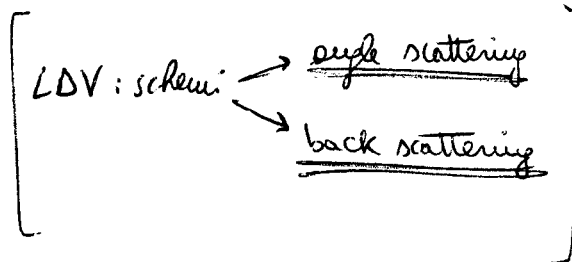
$f_D = \frac{1}{T_D} = \frac{v}{D} = \frac{2 \sin \theta}{\lambda} v \propto v$

su un asse dei tempi la distanza tra i picchi di luce dipende da v .

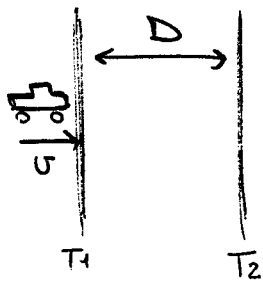


SENSIBILITÀ: $S = \frac{\Delta f}{f + v} \Delta v = \frac{2 \sin \theta}{\lambda}$

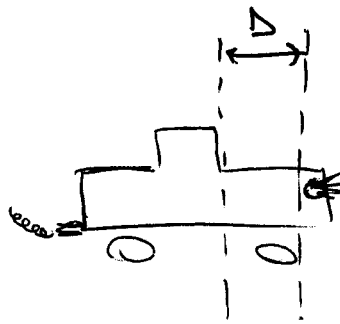
- MISURA di f_D : 1) CONTATORE
- 2) AS o FFT
- 3) CORRELAZIONE



AUTOVELOX a BARRIERA OTTICA



$$V = \frac{D}{(T_2 - T_1)}$$



(vedi slide 16)

- Si rilevano i segnali retrodiffusi dal bersaglio colpito dal laser
- Misura insensibile al profilo del veicolo
- Doppia rivelazione ($V_{21,IN} \cong V_{21,OFF}$ entro 1 Km/h) permette di eliminare false letture e errori di misura

IMPORTANTE: COPPLANARITÀ ($\theta = 0$) della barriera ottica con la strada.

• strumento orizzontale misura: $V = \frac{D}{T_2 - T_1} = \frac{D}{\tau_{21}}$

• strumento inclinato di θ misura $V^* = \frac{D}{\tau_{21}^*}$, con $\tau_{21}^* = (t_2 - t_1) = \frac{d}{V} < \tau_{21}$
 (quello inclinato vuole vedere D, vede $d = D \cos \theta < D$)
 $= \frac{V D}{d} = \frac{V}{\cos \theta} > V$
 (spazio + piccolo \Rightarrow velocità maggiore)

(se ben allineato e tarato, lo strumento raggiunge accuratezza $< 1\%$.)

TELELASER (TELEMETRO TOF)

$$V = \frac{(L_2 - L_1)}{T_{rep}} = \frac{c}{2} \frac{(T_2 - T_1)}{T_{rep}}$$

$$T_{rep} = T_{VA} = \frac{2L_{MAX}}{c} \approx 8 \mu s, \text{ con } L_{MAX} \cong L_{NA} = 1200 \text{ m}$$

$\Rightarrow f_{rep} = 125 \text{ kHz}$: poiché valore elevato, è possibile fare misure di velocità ripetute e poi ricavare la media, eliminando errori misura e riducendo incertezza.